

Figura 9. Diferentes estados de caracteres micromorfológicos observados na lâmina foliar das espécies do clado Neotropical de Dorstenieae. **A.** Formação de aréolas na face abaxial da lâmina foliar em *B. gaudichaudii*. **B.** Tricomas simples longos na face abaxial de *B. costaricanum*. **C.** Distribuição de tricomas capitados ao longo da face abaxial lâmina de *T. amazonicus*. **D.** Epiderme papilosa na face abaxial da lâmina foliar de *B. guianense*.

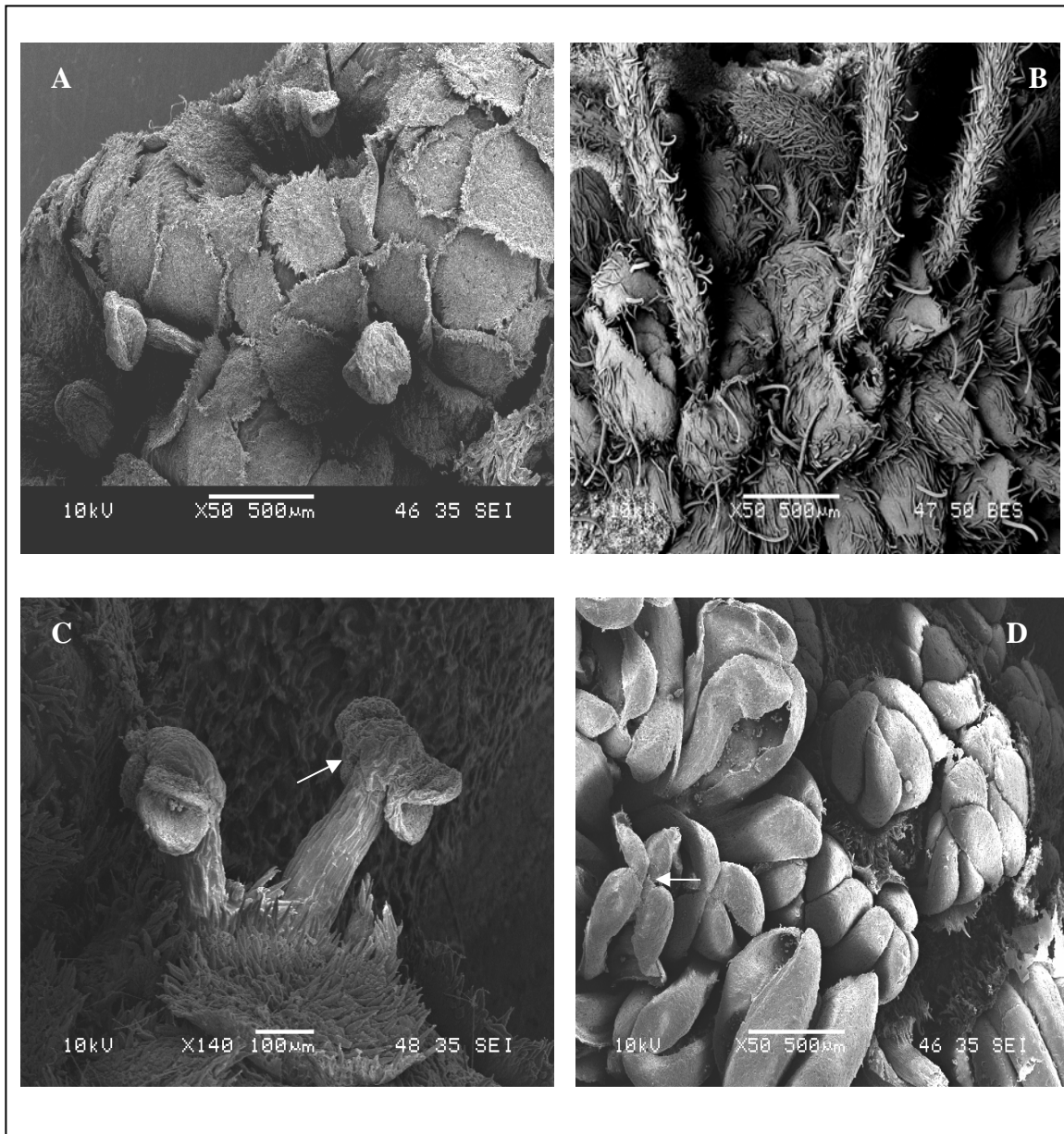


Figura 10. Diferentes estados de caracteres micromorfológicos das inflorescências das espécies do clado Neotropical de Dorstenieae. **A.** Receptáculo da inflorescência foveado em *B. longifolium*. **B.** Flores estaminadas com periantos e pistilódios desenvolvidos em *H. sprucei*. **C.** Abertura latrora das anteras e estames com conectivo abaulado (seta) em *B. utile*. **D.** Abertura extrorsa das anteras e estames com conectivo plano (seta) e em *B. lactescens*.

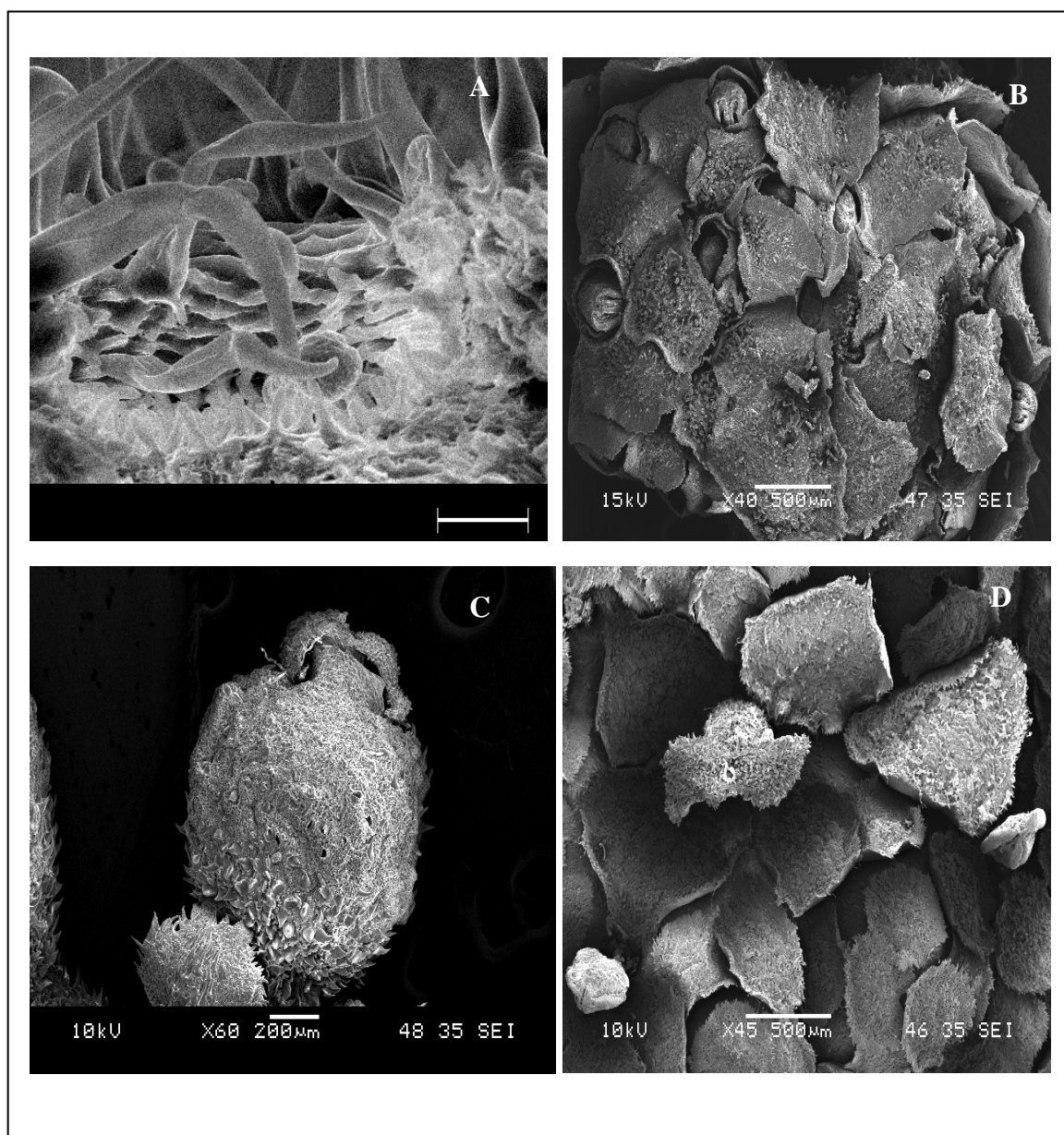


Figura 11. Diferentes estados de caracteres micromorfológicos observados na lâmina foliar e nas inflorescências das espécies do clado Neotropical de Dorstenieae e em *Sorocea muriculata*. **A.** Epiderme papilosa nas criptas estomáticas da face adaxial da lâmina foliar de *B. gaudichaudii*. **B.** Brácteas como perianto em *B. gaudichaudii*. **C.** Perianto na flor pistilada de *S. muriculata*. **D.** Estigma puberulento na inflorescência bissexuada de *B. potabile*

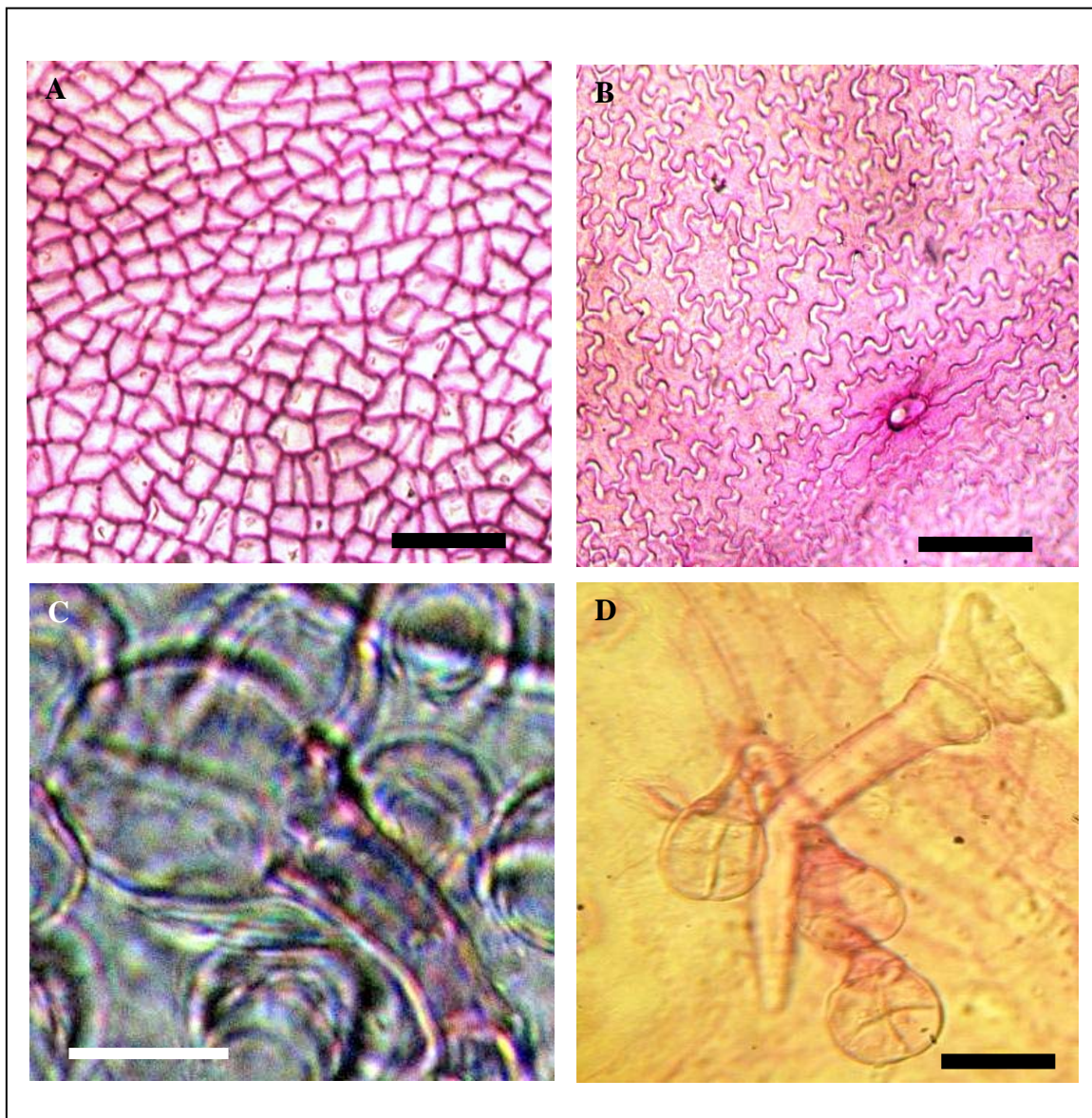


Figura 12. Diferentes estados de caracteres anatômicos observados na lâmina foliar das espécies do clado Neotropical de Dorstenieae. **A.** Células epidérmicas poligonais e de parede anticlinal presentes na face adaxial da lâmina foliar de *B. parinariooides*. **B.** Células epidérmicas isodiamétricas e de parede anticlinal profundamente sinuosa na face adaxial da lâmina foliar de *H. sprucei*. **C.** Tricoma ovóide-capitado bicelular na face abaxial da lâmina foliar de *B. guianense*. Distribuição **D.** Tricoma oblongo-capitado de 4 células na face abaxial da lâmina foliar de *B. acutifolium*. Barra: 10 µm.

6.7 Caracteres morfológicos excluídos

Durante a análise cladística dos caracteres morfológicos, seis caracteres se mostraram não-informativos e foram retirados da matriz por se tratarem de autapomorfias. Os caracteres autapomórficos, hábito herbáceo e tipo de nervura secundária eucampidódroma só são observados em *Dorstenia*, enquanto todas as espécies dos gêneros neotropicais da tribo Dorstenieae apresentam hábito arbóreo e nervuras secundárias broquidódromas.

A presença de brácteas peltadas interflorais e externas ao receptáculo na inflorescência são dois caracteres autapomórficos para os dois grupos externos e de difícil definição de estados para as espécies dióicas dos gêneros estudados. *Dorstenia brasiliensis* não apresenta brácteas interflorais, assim como as inflorescências pistiladas de *Brosimum* e *Helianthostylis*, geralmente, compostas por apenas uma flor pistilada. Já *Sorocea muriculata* não apresenta brácteas externas ao receptáculo. A mesma situação pode ser encontrada nas inflorescências estaminadas de algumas espécies de *Brosimum* e em *Helianthostylis sprucei*, que possui todo o receptáculo coberto por flores estaminadas.

Ainda relacionado às brácteas, foram encontradas variações no comprimento dessas estruturas interflorais. Brácteas peltadas com pedúnculos conspícuos são encontradas em *Helianthostylis sprucei* e *Brosimum lactescens*, enquanto que no restante das espécies de *Brosimum* e *Trymatococcus*, transições entre brácteas peltadas, subpeltadas e presas ao receptáculo são descritas por Berg (1972). É possível observar que o comprimento dessas estruturas está diretamente associado aos diferentes estágios de desenvolvimento da inflorescência e, por isso, ocorra a dificuldade em assumir estados seguros para a variação encontrada nessas estruturas.

Além destes, outros caracteres foram investigados e não incluídos na análise devido à grande variação intraespecífica ou pela dificuldade no estabelecimento de hipóteses de homologia, são elas: a forma da inflorescência, o número de flores pistiladas, as infrutescências e variações observadas nas sementes das espécies do clado neotropical de Dorstenieae.

A forma da inflorescência se apresentou variável e inconstante, principalmente, entre as espécies de *Brosimum*, onde podem ser definidas como subglobosas a globosas, hemiesféricas a elipsóides. Apenas em *Trymatococcus* e *Helianthostylis* as formas turbinadas e globosas são mais uniformes. Em *Dorstenia brasiliensis* a inflorescência é discóide e em *Sorocea muriculata* é um racemo pendular.

O número de flores pistiladas por inflorescência também se apresenta inconstante entre as espécies monóicas de *Brosimum*. A maior parte das espécies apresentam uma única flor na inflorescência, mas é possível encontrar de uma a várias em *B. rubescens* e *B. guianense*. Entre as espécies dióicas, a variação é ainda maior. Nestas, todas as inflorescências podem apresentar mais de uma flor pistilada.

As infrutescências em Moraceae são, em geral, drupas carnosas deiscentes ou indeiscentes, formadas a partir da concrescência de partes florais variadas. Nas espécies do clado neotropical de Dorstenieae, *Brosimum*, *Helianthostylis* e *Trymatococcus*, as infrutescências constituem um sincarro ou drupa indeiscente formado a partir do desenvolvimento do receptáculo da inflorescência que se torna amarelo ou marrom avermelhado. Em *Dorstenia brasiliensis* uma drupa deiciente é formada a partir do desenvolvimento da parte superior do exocarpo e em *Sorocea muriculata*, é o desenvolvimento do perianto que forma o fruto carnoso. Tal variação entre os tipos de formação do fruto nas espécies da tribo Dorstenieae, em comparação com a espécie *Sorocea muriculata* da tribo Artocarpeae (*sensu* Datywiler & Weiblen, 2004) é definida por Berg (1972) como um exemplo de transferência de função. Ou seja, não se trata de uma homologia e por isso não pode ser utilizada como caráter para compreender a filogenia do grupo

Diferenças relacionadas às sementes de algumas espécies dos gêneros estudados são registradas na literatura, contudo, durante o desenvolvimento do presente trabalho, poucas sementes puderam ser examinadas para a maior parte das espécies do clado. Em geral, as sementes de *Brosimum*, *Helianthostylis*, *Trymatococcus* e *Sorocea* são relativamente grandes, com pouco ou sem endosperma. A testa é fina, exceto por uma pequena parte abaixo do hilo em *Brosimum* e *Trymatococcus*; o embrião é geralmente bem desenvolvido, oblíquo a transversal, com presença de cotilédones iguais e desiguais, e a radícula é curta. Em *Dorstenia*, as sementes são pequenas com endocarpo crustáceo, de aspecto seco e frágil, com endosperma, testa fina e ligeiramente espessada na pequena parte vascularizada abaixo do hilo; o embrião é pequeno, curvo, cotilédones iguais e radícula relativamente longa.

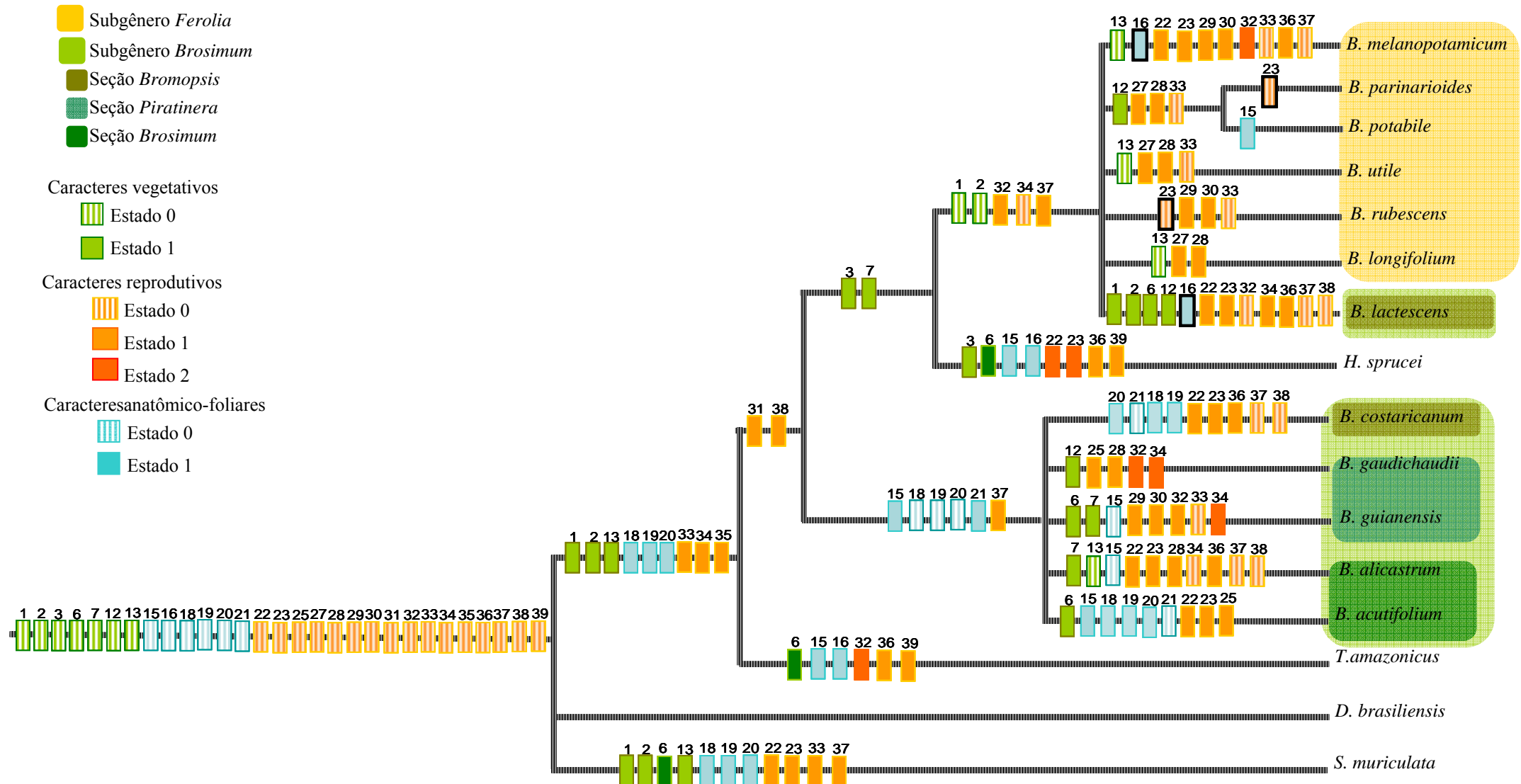


Fig. 13- Caracteres morfológicos plotados sobre a árvore consenso gerada pelos dados moleculares por parcimônia. Números dos caracteres acima das caixas, cores correspondentes aos estados. Áreas sombreadas representam a divisão subgenérica proposta por Berg (1972) para o gênero *Brosimum*.

5.8 Considerações taxonômicas

Diante do cladograma fracamente resolvido obtido no presente trabalho, o entendimento das relações filogenéticas entre as espécies dos gêneros *Brosimum*, *Helianthostylis* e *Trymatococcus* foi pouco elucidado. Como anteriormente evidenciado no trabalho de filogenia de Moraceae (Datwyller & Weiblen, 2004), o presente estudo mostra a formação de um único clado melhor sustentado composto pelas espécies do gênero *Brosimum* + *Helianthostylis sprucei* + *Trymatococcus amazonicus*, evidenciando o parafiletismo do gênero *Brosimum*.

Dessa forma, é pertinente sugerir a inclusão dos dois gêneros *Helianthostylis* e *Trymatococcus* dentro do gênero *Brosimum*, baseando-se também nas sinapomorfias morfológicas compartilhadas por estas espécies. Porém, melhor resolução do cladograma, bem como, a amostragem completa dos dois gêneros é requerida para o estabelecimento de novas circunscrições taxonômicas.

Com relação às divisões subgenéricas do gênero *Brosimum* propostas Berg (1972), o cladograma também evidenciou que os subgêneros *Ferolia* e *Brosimum* não são agrupamentos naturais. A inclusão da espécie *B. lactescens*, delimitada como subgênero *Brosimum*, no clado formado pelas espécies delimitadas como subgênero *Ferolia*, mostra que tais agrupamentos não refletem as relações evolutivas entre essas espécies.

Segundo o autor, *B. lactescens* está compreendida no subgênero *Brosimum*, seção *Bromopsis*, junto com *B. costaricanum* devido à presença de dioicia, estípulas não amplexicaules, perianto bem desenvolvido e ausência de epiderme papilar. Entretanto, tais características morfológicas não são filogeneticamente sustentadas.

Uma possível relação entre *B. lactescens* e *B. melanopotamicum*, compreendidas no **clado E**, pode ser especulada, pois são as únicas espécies do clado a apresentarem dioicia, perianto evidente e que, sob aspectos anatômico foliares, são as únicas espécies do gênero que apresentam as paredes das células anticlinais da epiderme levemente sinuosas. Entretanto, tais conclusões só poderão ser comprovadas a partir de um cladograma melhor resolvido.

A estreita relação molecular e morfológica evidenciada entre as espécies *B. parinariooides* e *B. potabile* pode indicar que se trate, na verdade, de uma única espécie para o **clado E**.

A espécie *B. alicastrum*, de acordo com a classificação de Berg (1972) está delimitada dentro do subgênero *Brosimum*, Seção *Brosimum*, junto com *B. acutifolium* devido à presença

de dioicia e perianto ausente nas flores estaminadas. As árvores consenso obtidas por parcimônia e análise bayesiana, a partir de dados moleculares e combinados, mostraram relações diferentes para estas espécies. A presença de papilas por toda a face abaxial da lâmina foliar, de tricos ovóide-capitados bicelulares distribuídos por toda a lâmina e brácteas com mais de 2mm de diâmetro são caracteres que corroboram a relação entre *B. alicastrum*, *B. guianense* e *B. gaudichaudii*. Mesmo sem suporte estatístico favorável, o filograma de máxima verossimilhança estabelece relação entre *B. acutifolium* e *B. costaricanum*, sendo estas as duas espécies do clado D a apresentar tricos oblongo-capitados de 4 células.

A partir das evidências obtidas com os resultados do presente trabalho, é possível inferir que as delimitações subgenéricas de *Brosimum* propostas por Berg (1972), bem como a divisão em seções proposta para o subgênero *Brosimum*, não refletem relações evolutivas para a maior parte das espécies componentes, as quais estão baseadas em caracteres anatômicos não analisados pelo autor.

O cladograma obtido a partir de dados moleculares também corrobora a mudança de status da espécie *B. longifolium*, a qual era delimitada como uma subespécie de *B. utile* no tratamento de Berg (1972), mas elevada à espécie na revisão da tribo Dorstenieae (Berg, 2001) devido a diferenças relacionadas, principalmente, ao tamanho, forma e à ausência de indumento foliares.

6. CONCLUSÕES

- O clado neotropical da tribo Dorstenieae de Moraceae, composto pelas espécies dos gêneros *Brosimum*, *Helianthostylis* e *Trymatococcus* constitui um grupo filogeneticamente natural, com monofiletismo suportado com 83% de *bootstrap*.
- Mesmo com o aumento de táxons amostrados (80% das espécies de *Brosimum*, 50% de *Trymatococcus* e 50% de *Helianthostylis*), houve baixa resolução para os ramos terminais do cladograma. Porém, como anteriormente evidenciado, o gênero *Brosimum* proposto por Berg (1972) é parafilético devido à inclusão das espécies *Helianthostylis sprucei* e *Trymatococcus amazonicus* entre suas espécies
- A formação de dois clados compostos pelas espécies de *Brosimum* demonstrou que a classificação infragenérica proposta para o gênero também não é natural, devido ao posicionamento da espécie *B. lactescens*.
 - Todos os caracteres morfológicos diagnósticos para a divisão taxonômica do grupo, bem como, caracteres anatômicos levantados para o presente estudo se mostraram homoplásicos quando plotados sobre o cladograma de dados moleculares. O que demonstra a necessidade de uma maior inclusão de dados e de táxons na busca de melhores resoluções para a provável reconstrução filogenética e compreensão das relações entre as espécies analisadas.
 - As considerações taxonômicas propostas no presente estudo tiveram como base o suporte fornecido para a topologia da árvore gerada a partir de dados moleculares e evidências anatômicas inéditas, as quais contrapõem ou sugerem modificações na classificação taxonômica infragenérica proposta para algumas espécies do gênero *Brosimum*.
 - Outras fontes de evidência como dados palinológicos, estudos fitoquímicos do látex, anatomia e morfologia da semente, além de estudos de biologia reprodutiva podem fornecer melhores informações para o estudo das relações entre as espécies do clado. Além disso, o levantamento de maior número de dados moleculares que apresentem bons índices de variação ao nível infragenérico é necessário para elucidar o posicionamento taxonômico dos gêneros *Brosimum* e *Helianthostylis* e *Trymatococcus*.
 - Além da possibilidade de inferência sobre a diversificação geográfica do clado neotropical a partir da análise de verossimilhança, a qual forneceu indícios sobre a diversificação do gênero *Brosimum* a partir da América Central, a utilização dos métodos cladísticos de parcimônia e análise bayesiana forneceu pontos para discussão sobre suas

diferenças e confiabilidade de suportes. Entretanto, independente dos parâmetros estabelecidos por esses métodos, a topologia encontrada nos cladogramas foi basicamente a mesma, cabendo ao investigador a aceitação de suas proposições.

7. REFERÊNCIAS BIBLIOGRÁFICAS

- Abele, L. G. & DeBry, R.W. 1995. The Relationship between Parsimony and Maximum-Likelihood Analyses: Tree Scores and Confidence Estimates for Three Real Data Sets. *Molecular Biology and Evolution* 12(2):292-297.
- Andreasen, K.; Bremer, B. 2000. Combined phylogenetic analysis in the Rubiaceae-Ixoroideae: Morphology, Nuclear and Chloroplast DNA data. *American Journal of Botany* 87(11): 1731–1748.
- Appezato-da-Glória, B. & Carmello-Guerreiro, S.M.(eds). 2003. *Anatomia Vegetal*. Ed. UFV, Universidade Federal de Viçosa, Viçosa. 438pp.
- Archibald, J. K.; Mort, M. E.; Crawford, D. J. 2003. Bayesian inference of phylogeny: a non-technical primer. *Taxon* 52: 187-191.
- Bakker, F. T.; Culham, A.; Daugherty, L. C.; Gibby, M. 1999. A *trnL-F* based phylogeny for species of *Pelargonium* (*Geraniaceae*) with small chromosomes. *Plant Systematics and Evolution* 216: 309-324.
- Bartholott, W. 1981. Epidermal and seed surface characters of plants: systematic applicability and some evolutionary aspects. *Nordic Journal of Botany* 1:345-355.
- Berg, C.C. 1972. Olmedieae and Brosimeae. *Flora Neotropica*. Hafner Publishing Company, New York, n. 7, 229 p.
- Berg, C.C. 1977. Urticales, their differentiation and systematic position. *Plant Systematic and Evolution*. 1: 349-374.
- Berg, C.C. 1989. Systematics and phylogeny of the Urticales. In: P.R. Crane & S. Blackmore (eds.). *Evolution, systematics, and fossil history of the Hamamelidae* vol. 2. Oxford: Clarendon Press. 180 p.
- Berg, C.C. 1990. Differentiation of flowers and inflorescences of Urticales in relation to their protection against breeding insectas and to pollination. *Sommerfeltia* 11:13-34.
- Berg, C.C. 2001. *Morae, Artocarpaceae and Dorstenia* (*Moraceae*): with introductions to the family and *Ficus* and with additions and corrections to *Flora Neotropica* monograph n. 7. New York: New York Botanical Garden, 220p.
- Berg, C.C. 2002. Moraceae. In: Julian A. Steyermark, Paul E. Berry, Kay Yatskievych, and Bruce K. Holst (eds). *Flora of the Venezuelan Guayana* vol. 7. Missouri Botanical Garden, St. Louis, Missouri.
- Bergsten, J. A review of long-branch attraction. *Cladistics* 21:163-193
- Bremer, B.; Jansen R. K.; Oxelman, B.; Backlund, M.; Lantz, H. Kim, K. 1999. More characters or More Taxa for a Robust Phylogeny-Case Study from the Coffee Family (Rubiaceae). *Systematic Biology* 48 (3): 413-435.
- Brouat, C.; Gielly, L.; McKey, D. 2001. Phylogenetic Relationships in the Genus *Leonardoxa* (Leguminosae: Caesalpinoideae) inferred from chloroplast *trnL* intron and *trnL-trnF* intergenic spacer sequences. *American Journal of Botany* 88 (1): 143–149.
- Chen, S.; Guan, K.; Zhou, Z.; Olmstead, R. & Cronk, Q. 2005. Molecular Phylogeny Of *Incarvillea* (Bignoniaceae) based on ITS and *TRNL-F* sequences. *American Journal of Botany* 92(4): 625-633.

- Chase, M.W.; Soltis, D.E.; Olmstead, R.G.; David, M.; Les, D.H.; Mishler, B.D.; Duvall M. R.; Price, R.A.; Hills, H.G.; Qiu, Y.L.; Kron, K.A.; Rettig, J.H.; Conti, E.; Palmer J.D.; Manhart, J.R.; Sytsma, K.J.; Michaels, H.J.; Kress, W.J.; Karol, K.G.; Clark, W.D.; Hedren, M.; Gaut, B.S.; Jansen, R.K.; Kim, K.J.; Wimpee, C.F.; Smith, J.F.; Furnier, G. R.; Strauss, S. H.; Xiang, Q.Y.; Plunkett, G.M.; Soltis, P. S.; Swensen, S.M.; Williams, S. E.; Gadek, P.A.; Quinn, C.J.; Eguiarte, L.E.; Golenberg, E.; Learn, G.H.J.; Graham, S.W.; Barrett, S.C.H.; Dayanandan, S.; Albert, V.A. 1993. Phylogenetics of seed plants: an analysis of nucleotide sequences from the plastid gene *rbcL*. *Annals Missouri Botanical Garden* 80: 528-580.
- Chase, M.W.; Fay, M.F. & Saivolainem, V. 2000. Higher-level classification in the angiosperms: nem insights from the perspective of DNA sequence data. *Taxon* 49: 685-701.
- Chomczynski, P.; Mackey, K.; Drews, R. . Wilfinger, W. 1997. DNazol®: A reagent for the rapid isolation of genomic DNA. *BioTechniques* 22, 550-553.
- Corner, E. J. H. 1962. The classification of Moraceae. *Gardens Bulletin Singapore* 19: 187: 252.
- Cronquist, A. 1993. *The Evolution and Classification of Flowering Plants*. 3ed. The New York Botanical Garden, New York, 555p.
- Dalghren, 1989. The Last Dahlgrenogram, system of classification of flowering plants. In K. Tan (ed.), *Plant Taxonomy, phytogeography and related subjects*, 249-260. Edinburgh University Press, Edinburg, Scotland.
- Datwyler, S.L.; Weiblen, G.D. 2004. On the origin of the fig: Phylogenetic relationships of Moraceae from *ndhF* sequences. *American Journal of Botany* 91 (5): 767– 777.
- Doyle, J.J.; Doyle, J.L. 1987. A rapid DNA isolation procedure for small quantities of fresh leaf tissue. *Phytochemical Bulletin* 19 :11-15.
- Evans, T.M.; Faden, R.B.; Simpson, M.G.; Systma, K.J. 2000. Phylogenetic Relationships in the Commelinaceae: I. A Cladistic Analysis of Morphological Data. *Systematic Biology* 25(4):668-691.
- Evans, T.M.; Systma, K.J; Faden, R.B.; Givnish, T.J. Phylogenetic Relationships in the Commelinaceae: II. A Cladistic Analysis of *rbcL* Sequences and Morphology. *Systematic Biology* 28(2):270-292.
- Fahn, A. 1990. *Plant Anatomy*. 4ed. New York, Pergamon Press. 612p.
- Felsenstein, J. 1981. Evolutionary trees from DNA sequences: a maximum likelihood approach. *Journal of Molecular Evolution* 17(6):368-76.
- Ferrari, F.; Delle Monache, F.; Suarez, A.I.; Compagnone, R.S. 2005. New cytotoxic isoflavone from the root bark of Brosimum utile. *Natural Product Research* 19(4):331-5.
- Fitch, W.M.. 1971. Toward defining the course of evolution: minimum change for a specific tree topology. *Systematic Zoology* 20: 406-416.
- Gangadhara, M.; Inamdar, J. A. 1977. Trichomes and stomata and their taxonomic significance in the Urticales. *Plant Systematics and Evolution* 127:121-137.
- Giannasi, D. E. 1986. Phytochemical Aspects of Phylogeny in Hamamelidae. *Annals of the Missouri Botanical Garden*. 73 (2) : 417-437.
- Givnish;T. J. & K. J. Sytsma. 1997. Consistency, Characters, and the Likelihood of Correct Phylogenetic Inference. *Molecular Phylogenetics and Evolution*. 7(3):3320-330.
- Gottlieb, O. R.; Magalhães, A. F.; Braz-Filho, R.A. 1971. A química de moráceas brasileiras. II. Brosiprenina e outras cumarinas de *Brosimum rubescens*. *Anais da Academia Brasileira de Ciências* 43:585-586.

- Hadiyah, J.T.; Quinn, C.J. & Conn, B.J. 2003. Phylogeny of *Elatostema* (Urticaceae) using chloroplast DNA data. *Telopea* 10(1):235-246.
- Harris, J.G.; Harris, M. W.. 2001. Plant identification terminology: An illustrated glossary. 2ed. Spring Lake, UT. Spring Lake Publishing. 206 p.
- Holmgren, P.K., Holmgren, N.H. & BARNETT, L. 1990. Index herbariorum. Part 1: The herbaria of the world. 8 ed. New York Botanical Garden, New York.
- Humphries, C. J. & Blackmore, S. 1989. A review of the classification of the Moraceae. *Evolution, systematics and fossil history of the Hamamelidae* 2: 267-277, higher Hammamelidae. P.R. Crane e S.Blackmore eds. Clarendon Press, Oxford, UK.
- Huelsenbeck J. P., Ronquist F. 2001. MrBayes: Bayesian inference of phylogenetic trees. *Bioinformatics* 17: 754–755.
- Huelsenbeck J. P., Ronquist F., Nielsen R., Bollback J. P. 2001. Bayesian inference of phylogeny and its impact on evolutionary biology. *Science* 294: 2310–2314.
- Huelsenbeck, J.P.; Rannala, B.; Masly, J.P. Accommodating Phylogenetic Uncertainty in Evolutionary Studies. *Science* 288:2349-50.
- Judd, W.S; Campbell, C.S. 2002. *Plant Systematics: A Phylogenetic Approach*. 2 ed. Massachusetts, Sunderland, USA: Sinauer Associates, Inc., 576 p.
- Kraus, J.E.; Arduin, M. 1997. *Manual básico de métodos em morfologia vegetal*. EDUR, Rio de Janeiro. 198pp
- Lohmann, L. G. 2006. Untangling the phylogeny of neotropical lianas (Bignonieae, Bignoniaceae). *American Journal of Botany*. 93:304-318.
- Metcalf, C.R. & Chalk, L. 1950. *Anatomy of Dicotyledons*. 1 ed.Vol.2. Oxford, London. Clarendon Press. 1259-1251p.
- Metcalf, C.R. & Chalk, L. 1979. *Anatomy of Dicotyledons: Systematic Anatomy of the Leaf and Stem*. 2ed. Vol.1. Oxford University Press. New York. 276pp.
- Michelangeli, F.A. 2000. A Cladistic Analysis of the Genus *Tococa* (Melastomataceae) Based on Morphological Data. *Systematic Botany* 25(2):211-234.
- Monro, A. K. 2006. The Revision of Species-Rich Genera: A Phylogenetic Framework for the Strategic Revision of *Pilea* (Urticaceae) Based on Cpdna, Nrdna, and Morphology. *American Journal of Botany* 93(3): 426–441.
- Monteiro, V. F. F.; Mathias, L.; Vieira, I.J.C.; Schripsema, J.; Braz-Filho, R. 2002. Prenylated Coumarins, Chalcone and New Cinnamic Acid and Dihydrocinnamic Acid Derivatives from *Brosimum gaudichaudii*. *Journal Brazilian. Chemistry. Society* 13 (2):281-287.
- Moretti, C.; Gaillard, Y.; Grenand, P.; Bevalot, F.; Prévosto, J.M. 2006. Identification of 5-hydroxy-tryptamine (bufotenine) in *takini* (*Brosimum acutifolium* Huber subsp. *acutifolium* C.C. Berg, Moraceae), a shamanic potion used in the Guiana Plateau. *Journal of Ethno-Pharmacology* 106:198-202.
- Neinhuis C.; Wanke, S.; Hilu, K. W.; Müller, K.; Borsch, T. 2005. Phylogeny of Aristolochiaceae based on parsimony, likelihood and Bayesian analyses of trnL-trnF sequences. *Plant Systematic and Evolution* 250: 7–26.
- Nylander, J.A.A.; Ronquist, F.; Huelsenbeck, J.P.; Aldrey, L.N.2004. Bayesian Phylogenetic Analysis of Combined Data. *Systematic Biology* 53(1):47-67.

- Posada, D. & Crandall, K. A. 1998. Modeltest: testing the model of DNA substitution. *Bioinformatics* 14:817-818.
- Qiu, Y.L.; Chase, M.W.; Hoot, S. B.; Conti, E.; Crane, P. R.; Systma, K. J.; Parks, C. R. 1998. Phylogenetics of the Hamamelidae and their allies: Parsimony analyses of Nucleotide sequences of the plastid gene *rbcL*. *International Journal of Plant Sciences* 159(6): 891-905.
- Renner, S. S.; Ricklefs, R.E. 1995. Dioecy and its correlates in the flowering plants. *American Journal of Botany* 82:596-606.
- Ribeiro, J.E.L.S.; Hopkins, M.J.G.; Vicentini, A.; Sothers, C.A.; Costa, M.A.S.; Brito, J.M.; Souza, M.A.D.; Martins, L.H.P.; Lohmann, L.G.; Assunção, P.A.C.L.; Pereira, E.C.; Silva, C.F.; Mesquita, M.R.; Procópio, L. 1999. *Flora da Reserva Ducke: Guia de Identificação das Plantas Vasculares de uma Floresta de Terra Firme na Amazônia Central*. Manaus: INPA-DFID. 816p.
- Richardson, J. E.; Fay, M. F; Quentin, Cronk, Q. C. B; Bowman, D.; Chase, M.W. 2000. A Phylogenetic analysis of Rhamnaceae using *RbcL* And *Trnl-F* Plastid Dna sequences. *American Journal of Botany* 87(9):1309-1324.
- Richardson, J.E.; Pennington, R.T., Pennington, T.D. & Hollingsworth. 2001. Rapid Diversification of a Species-Rich Genus of Neotropical Rain Forest Trees. *Science* 293:2242-2245.
- Rohwer, J.G.. Moraceae. 1993. In: K. Kubitzki *et al.* (eds.). *The Families and Genera of Vascular Plants* 2: 438-453. Berlim: Springer-Verlag.
- Romaniuc-Neto, S. 1999. Cecropioideae (C.C. Berg) Romaniuc-Neto stat. nov. (Moraceae – Urticales). *Albertoa* 4: 13-16.
- Sancho, G. 2004. Phylogenetic Relationships in the Genus *Onoseris* (Asteraceae, Mutisieae) Inferred from Morphology. *Systematic Biology* 29(2):432-447.
- Sattarian, A. 2006. Contribution to the biosystematics of *Celtis* L. (Celtidaceae) with special emphasis on the African species. PhD thesis, Wageningen University, Wageningen, Germany. 139pp.
- Sanderson, M.J. 1997. A Nonparametric Approach to Estimating Divergence Times in the Absence of Rate Constancy. *Molecular Biology and Evolution* 14(12):1218-1223.
- Scotland, R.W.; Olmstead, R.G.; Bennett, J.R. 2003. Phylogeny Reconstruction: The Role of Morphology. *Systematic Biology* 52(4):539-548.
- Sha, A.M. & Kachroo, P. 1975. Comparative Anatomy in Urticales I, the Trichomes in Moraceae. *Journal Indian Botanical Society* 54:138-153.
- Soltis, D.E. *et al.* 2000. Angiosperm phylogeny inferred from 18S rDNA, *rbcL*, and *atpB* sequences. *Botanical Journal of the Linnean Society* 133: 381-461.
- Suzuki Y.; Glazko G.V.; Nei M. 2002. Overcredibility of molecular phylogenies obtained by Bayesian phylogenetics. *Proceedings of the National Academy of Sciences* 99:16138–16143.
- Swofford, D.L. PAUP. 2001. *Phylogenetic analysis using parsimony (and other methods)*. Version 4β10. Sinauer Associates, Sunderland, Massachusetts:
- Sytsma, K. J., Morawetz, J.; Pires, J. C.; Nepokroeff M.; Conti, E.; Zjhra ,M.; Hall, J.C.; Chase, M.W. 2002. Urticalen rosids: circumscription, rosid ancestry and phylogenetics based on *rbcL*, *trnL-F* and *ndhF* sequences. *American Journal of Botany* 89: 1531 – 1546.

- Taberlet P.; Gielly L.; Patou G.; Bouvet J. 1991. Universal primers for amplification of three non-coding regions of chloroplast DNA. *Plant Molecular Biology* 17 :1105-1109.
- Takhtajan, A.L. 1997. *Diversity and classification of flowering plants*. Columbia University Press. New York.
- Thorne, R. F. 1992. An update phylogenetic classification of the flowering plants. *Aliso* 13: 365-389.
- Thorne, R. F. 2000. Classification and geography of the flowering plants. *The Botanical Review* 58 (3): 226-348.
- Vilegas, W.; Pozetti, G. L. 1993. Coumarins from *Brosimum gaudichaudii*. *Journal of Natural Products* 36 (3): 416-417.
- Weiblen, G.D. 2000. Phylogenetic relationships of functionally dioecious *Ficus* (Moraceae) based on ribosomal DNA sequences and morphology. *American Journal of Botany* 87(9):1342-1357.
- Weiblen, G.D.; Clement, W.L.; Datwyler S.L.; Zerega N.J.C. 2005. Biogeography and divergence times in the mulberry family (Moraceae). *Molecular Phylogenetics and Evolution* 37: 402-416.
- Weiguo, Z.; Yile, P.; Zhang, Z.J.S., Xuexia, M., Yongping H. 2005. Phylogeny of the genus *Morus* (Urticales: Moraceae) inferred from ITS and *trnL*-F sequences. *African Journal of Biotechnology* 4 (6): 563-569.

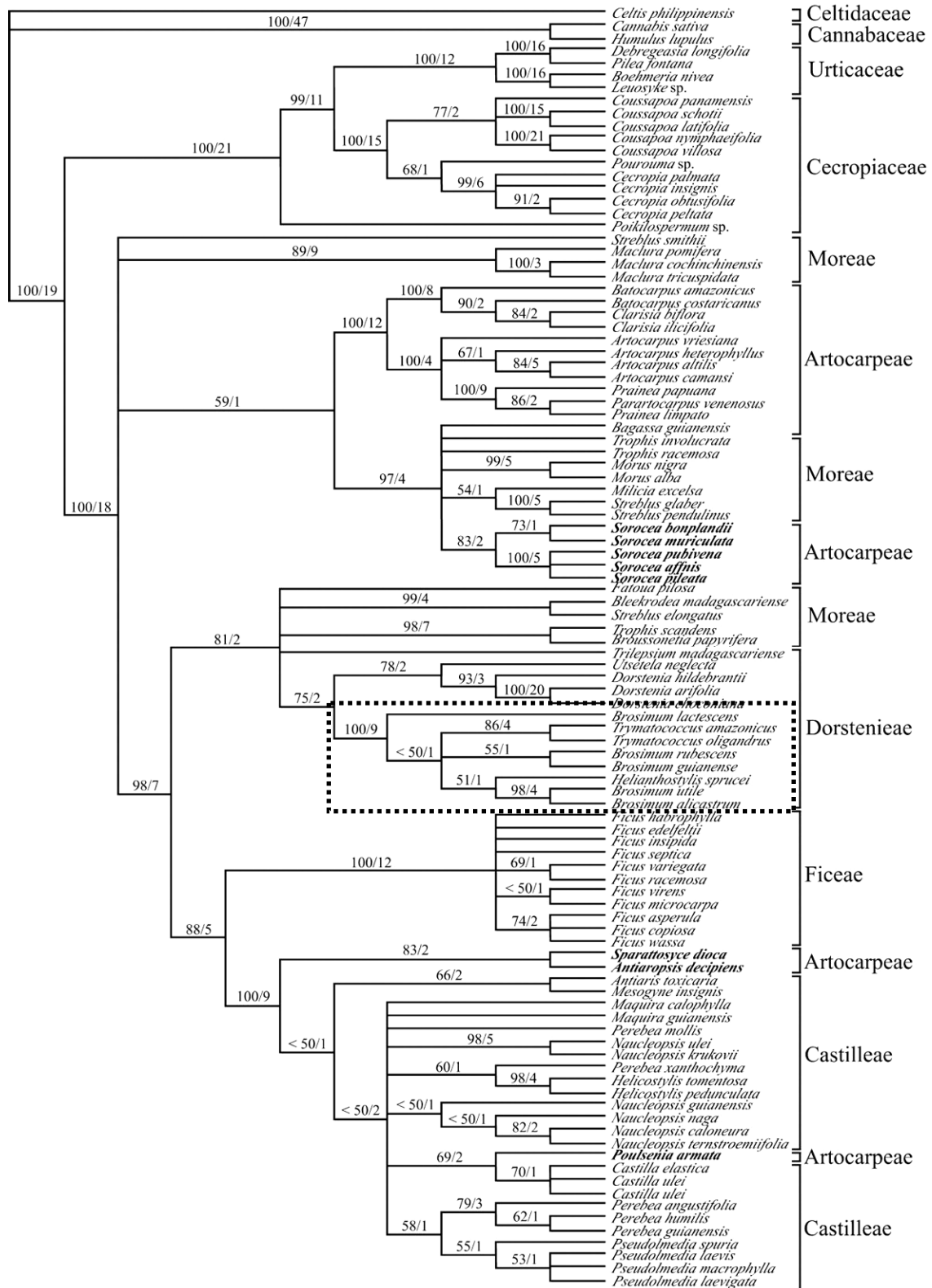
On line:

Cummings,M.P. Workshop on Molecular Evolution. Disponível em
<http://www.molecularevolution.org/resources/lrt.php>. Acesso em maio, 2007.

Maddison W.P & Maddison DR 2002. *Mesquite: A Modular System for Evolutionary Analysis* Versão 1.0.
 Disponível em <http://mesquiteproject.org>

8. ANEXOS

Anexo 1. Árvore de estrito consenso de 11 057 árvores mais parcimoniosas. Números acima dos ramos referem-se a porcentagem de bootstrap/índice de decay. Em pontilhado o clado Neotropical da tribo Dorstenieae. **Fonte:** Datwyler & Weiblen (2004).



9. APÊNDICES

Apêndice 1. Espécimes do clado Neotropical da Tribo Dorstenieae – *Brosimum*, *Helianthostylis* e *Trymatococcus*, examinados para aquisição dos dados morfológicos, micromorfológicos (**MEV**), anatômicos (**ANA**) e macromoleculares (**MOL**).

Brosimum acutifolium subesp. *interjectum*

Paraná, VII.1927, *Ducke s.n* (INPA 15620); **Pará**, Santarém, I.1976 *Faustino s.n* (INPA 61097); I.1976, *Barbosa* 0604 (INPA 61128); I.1976, *Faustino s.n* (INPA 61096); XII. 1975, *Nilsson s.n* (INPA 61080); XII. 1975 *Faustino s.n* (INPA 61089); II.1976 *Faustino s.n* (INPA 61079); X. 1975, *Humberto s.n* (INPA 61081); IX. 1975, *Humberto s.n* (61087); I. 1976, *Faustino s.n* (INPA 61099); XI. 1975, *Humberto s.n* (INPA 61083); I. 1975, *Faustino s.n* (INPA 61100); X. 1975, *Erly s.n* (INPA 61088); IX, 1975, *Humberto s.n* (INPA 61085); IX, 1975, *Erly s.n* (INPA 61082), IX. 1975, *Humberto s.n* (INPA 61085) (**ANA MEV**); **Amazonas**, Manaus, V.1975, *Coelho* 15 (INPA 49896); I.1977, *Nascimento* 275 (INPA 65716); VIII. 1981, *Nascimento* 1109.81 (INPA 174105); XI. 1972, *Rodrigues* 9208 (INPA 39717); X. 1984, *Prance*, 22829 (INPA 47412); Reserva Ducke, VI.1994, *Nascimento* 516 (INPA 183522) (**ANA MOL**); VII. 1995, *Souza* 57 (INPA 183601); V. 1195, *Ribeiro* 1262 (INPA 179685) (**ANA MEV**); X.1996, *Souza* 1002 (INPA 204661) (**ANA**); Manicoré, VI. 2005, *Moreira* 1 (INPA 215951); **Colômbia**, Letícia, VI.2005, *Ramos* 1918 (INPA 8886).

Brosimum alicastrum subesp. *boliviensis*

GenBank – accession number AF501601

Venezuela, VIII.1976, *Lister* 667 (INPA 206217); *Trujillo*, VI.1953, *Zerón s.n* (VEN 34247) (**ANA**); *Barinas*, III.1972, *Berti* 3026 (VEN 89292); *Yaracuy*, II.1981, *Steyermark et al. s.n* (VEN 167581); *Aragua*, V.1983, *Prance et al. s.n* (RB 250336); I.1961, *Steyermark s.n* (VEN 88504) (**ANA MEV**); **Colômbia**, *Bolívar*, IV.1966, *Forero* 443 (INPA 76424); **Peru**, *San Martín*, IX.1970, *Schunke* 4414 (INPA 39439); **Pará**, *Prainha*, IX.1980, *Barbosa* 1464 (INPA 141211); **Acre**, *Rio Branco*, X.1989, *Rego* 397 (INPA 160173); VII.1989, *Arruda* 14 e 15 (INPA 159148 159149); VIII.1989, *Arruda* 21, 22 e 23 (INPA 159155 159156 159157); III.1911, *Ule* 9324 (RB 182281); *Cruzeiro do Sul*, X.1984, *Ferreira et al.* 5360 (MG 120130); **Rio de Janeiro**, *Rio de Janeiro*, IX.1991, *Kurtz s.n* (INPA 217744)

Subesp. *alicastrum*

Venezuela, *Falcon*, VII.1977, *Ruiz* 1909 (VEN 256908); *Bolívar*, VIII.1961, *Conejos* 93 (VEN 73253); *Sucre*, VII.1962, *Steyermarki & Agostini s.n* (VEN 56940); *Bolívar*, VI.1997, *Nuñez et al. s.n* (VEN 336810) (**ANA**); **México**, *Tabasco*, IV.1976, *Calzada* 2326 (RB 205213)

Brosimum costaricanum

Costa Rica, *Puntarenas*, II.1994, *Aguilar* 3100 (INB 62786) (**ANA MOL**); I.1993, *Hammel* 18721 (INB 62785); II. 1995, *Aguilar* 3764 (INB 62791); I.1998, *Hurtado* 31 (INB 62787) (**MEV**); *Alajuela*, III.1993, *Haber* 11441 (INB 62790) (**ANA**); V.1995, *Rodriguez* 738 (INB 62792);

Brosimum gaudichaudii

Colômbia, II.1977, *Alvaro* 584 (INPA 85927); **Mato Grosso**, *Torixoréu*, XI.1993, *Macêdo* 3452 (INPA 177238); VIII.1989, *Macêdo* 2302 (INPA 176635); XII.1993, *Macêdo* 3541 (INPA 177485); *São Felix*, X.1985, *Thomas*, 4278 (INPA 150753); **Mato Grosso**, IX.1979, *Macêdo*, 836 (INPA 91836); X.1976, *Macêdo* 439, (INPA 62438); X. 1973, *Prance* 18894 e 19211 (INPA 42373 e 42702); IX.1963, *Maguire* 56965 (INPA 77725); XI.1995 *Guarim* 1429 (INPA 186597); *Cáceres*, X.1985, *Ferreira*, 6582 (INPA 138216); *Santa Terezina*, X.1985, *Ferreira* 6389, (INPA 138024); *Nobre*, IX.1985, *Ferreira* 6086 (INPA 137721); *Poconé*, IX.1976, *Macêdo* 444 (INPA 75012); **Roraima**, *Boa Vista*, V.1987, *Lima* 753 (INPA 150249); **Rondônia**, X.1979, *Nelson* 338 (INPA 91044); XI.1979, *Vieira* 840 (INPA 89163); **Paraná**, VII.1993, *Ratter* 688 (INPA 182558); **Goiás**, V.1950, *Pires* 2711 (INPA 2711) (**ANA MEV**); **Distrito Federal**, *Brasília*, IX.1983, *Kirkbride* 5380 (INPA 205160) (**ANA**); VI.1980, *Kirkbride* 3592 (INPA 205161); VIII.1980, *Almeida* 122 (INPA 205163); **Maranhão**, *Carolina*, X.1996, *Sanaiotti* 636 (INPA 213393); **Amazonas**, *Humaitá*, I.1980, *Jansen* 129 (INPA 105445); **Minas Gerais**, *São Gonçalo do Rio Preto*, XI.1969, *Lombardi* 3456 (BHCB 49786) (**ANA MOL**);

Buritizeiro, VIII.2002, *Hatschbach & Silva* 73435 (BHCB 84118); Belo Horizonte, IX.1934, *Mello Barreto* 7278 (BHCB 71868); VIII. 1980, *Ferrari* 644 (BHCB 2283); X.2000, *Salino* 5702 (BHCB 56824).

Brosimum glaucum

Minas Gerais, Carlos Chagas, XI.1999. *Costa s.n* (BHCB 45813); Berilo, II.2001, *Tameirão Neto* 3196 (BHCB 69642) (**MEV ANA**)

Brosimum glaziovii

São Paulo, São Paulo, III.1996, *Romanuic Neto* 1298 (INPA 218798) (**ANA MEV**); X.1934, *Hoehne s.n* (IB 2326); Cananéia, X.1990, *Melo & Penina* 859 (INPA 218801). **Minas Gerais**, Coroaci, XI.1998, *Tameirão Neto* 2768 (BHCB); Ferros, IX.1998, *Tameirão Neto* (BHCB 46865) (**ANA**).

Brosimum guianense

Venezuela, Bolívar, III.1995, *Knab-Vispo* 394 (INPA 203769); **Guiana Francesa**, Cayenne, VIII.1944, *Maguire* 24358 (INPA 14557); X.1989, *Gillespie* 2252 (INPA 201782); I.1998, *Sabatier* 1533 (INPA 199165); **Bolívia**, Pando, Manupiri, X.1977, *Hartshorn* 2078 (INPA 85997); **Mato Grosso**, Paranaíta, X.1973, *Prance* 18375 (INPA 41667); VIII.2000, *Pinto* 77 (INPA 206514); Aripuanã, III.1971, *Gomes* 1585 (INPA 69084); **Acre**, Rio Branco, VII.1989, *Arruda* 12 (INPA 159147); Cruzeiro do Sul, III.1971, *Maas* 13082 (INPA 158687); X.1989, *Ferreira* 10595 (INPA 200282); Sena Madureira, X.1993, *Daly* 7974 (INPA 215450); **Pará**, Jacundá, IV.1981, *Silva* 1580 (INPA 102139); Almeirim, XI.1979, *Silva* 5414 (INPA 158687); **Amazonas**, Manaus, III.1981, *Leite* 14 (INPA 75198); X.1980, *Nascimento* 330 (INPA 73376); I.1993, *Oliveira* 548 (INPA 196043); XI.1986, *Silva* 2314 (INPA 70134); Cucuí, I.1993, *Rodrigues* 10736 (INPA 157157) (**ANA**); Uarini, VIII.2003, *Rocha* 170 (INPA 213963); Reserva Ducke, X.1995, *Martins* 47 (INPA 191470) (**ANA MEV**); X.1995, *Nascimento* 516 (INPA 183522); IX.1995, *Souza* 57 (INPA 183601) (**MOL**); X.1995, *Vicentini* 872 (183621); X.1995, *Assunção* 539 (INPA 191146) (**ANA**); IX.1995, *Sothers* 1042 (INPA 192573); X.1995, *Ribeiro* 1705 (INPA 183526) (**MEV**); **Minas Gerais**, Coroaci, XI.1998, *Tameirão Neto* 2767 (BHCB 46901).

Brosimum lactescens

Bolívia, Pando, X.1977, *Hartshorn* 2080 (INPA 86004); Beni, IX.1976, *Meneces* 367 (INPA 86003); **Colômbia**, Vichada, III.1985, *Zarucchi* 3742 (154678); VIII.1977, *Roa* 739 (INPA 85924); **Mato Grosso**, Paranaíta, IX.2000, *Pinto* 84 (INPA 206510); III.2000, *Pinto* 12 (INPA 206513); Sinop, IX.1985, *Thomas* 3943 (INPA 150452); IX.1985, *Ferreira* 6196 (INPA 137831); III.2003, *Yoshitake* 5 (INPA 212986); Nobres, IX.1985, *Ferreira* 6130 (INPA 137765); Água Boa, IX.1983, *Marimon* 20 (INPA 205162); Barão do Melgaço, IX.2000, *Paula* 1723 (INPA 205176) (**ANA**); Aripuanã, I.1977, *Gomes* 599 (INPA 64743); V.1977, *Gomes* 1900 (INPA 70196); X. 1973, *Berg et al. s.n* (INPA 41775); **Acre**, Cruzeiro do Sul, XI.1991, *Ferreira* 10522 (INPA 200243); Brasiléia, XII.1991, *Lima* 191 (INPA 201466); **Roraima**, Alto Alegre, III.1987, X.1987 *Ratter* 5776 5857 (INPA 167703 167759); **Amazonas**, Manaus, IX.1976, *Souza s.n* (INPA 71693); XII.1982, *Silva*, 108 (INPA 107874); Presidente Figueiredo, IX.1986, *Ferreira* 8142 (INPA 148459) (**ANA**); Reserva Ducke, VIII.1995, *Ribeiro* 1664 (INPA 183563); IX. 1997, *Ribeiro* 1913 (INPA 191473) (**MOL**); X.1997, *Souza* 441 (INPA 191480) (**ANA MEV**).

Brosimum longifolium

Amazonas, Manaus, IX. 1968, *Souza* 194 (INPA 21537); VII.1963, *Rodrigues* 5339 (INPA 14008); X.1963, *Rodrigues* 5503 (INPA 14176); VIII.1976, *Oliveira s.n* (INPA 60560); Santa Isabel, XI.1987, *Ferreira* 9337 (INPA 157528) (**ANA**); Reserva Ducke, IX.1995, *Souza* 106 (INPA 183604) (**MOL**); X.1994, *Costa* 03 (INPA 183514) (**MEV**); **Mato Grosso**, Aripuanã, X.1987, *Gomes* 599 (INPA 64743) (**ANA**).

Brosimum melanopotamicum

Amazonas, Manaus, VIII. 1973, *Berg* 247 (INPA 147934) (**ANA**); XI.1985, *Deus et al. s.n* (INPA 174242); XI.1989, *Kukle* s.n (INPA 180280) (**ANA**); XI. 1981, *Nascimento et al. s.n* (INPA 174122) (**ANA MEV MOL**)

Brosimum parinarioides

Guiana Francesa, Saül, XI.1982, *Mori* 15154 (INPA 150043); III.1998, *Gillespie* 2252 (INPA 201782); **Pará**, Santarém, X.1975, *Barbosa* 322 (INPA 61108); XII.1975, *Barbosa* 555 (INPA 61116); I.1976, *Barbosa* 581 (INPA 61115) (**ANA**); **Amazonas**, Manaus, VI.1976, *Souza s.n* (INPA 59938); VI.1966, *Rodrigues* 7919 (INPA 17279); VII.1976, *Oliveira s.n* (INPA 59754); X.1990, *Setz* 310 (INPA 190658); II.1993, *Maas* 6650 (INPA 158079) (**ANA**); Tefé, X.1989, *Amaral* 730 (INPA 107115); Reserva Ducke, X.1994, *Souza*

441 (INPA 191480); IX. 1994, Assunção 719 (INPA 191462); IX.1997, Souza 418 (INPA 191478); X.1997, Souza 441 (INPA 191480) (**ANA**); X.1997, Assunção 721 (INPA 191463) (**MOL**); IX. 1994, Ribeiro 1664 (INPA 185363); X. 1994, Ribeiro 1705 (INPA 183563) (**MEV**); X.1997, Costa 792 (INPA 191467).

Brosimum potabile

Mato Grosso, Acorizal, X.1991, Macêdo 4449 (INPA 199873) (**ANA**); Nobres, X.1991, Macêdo 4463 (INPA 199878); Aripuanã, IX.1978, Roth 30 (INPA 79883); **Acre**, Mâncio Lima, XI.1991, Ferreira s.n (INPA 200200); X.1991, Ferreira sn. (INPA 200212); **Pará**, Melgaço, X.1994, Silva et al. 3010 (INPA 212844) (**MEV**); **Rondônia**, Porto Velho, IX.1975, Coêlho 52 (INPA 52527); VII.1972, Silva et al. 894 (INPA 36985); **Amazonas**, Manaus, VII. 1942, Ducke 1159 (INPA 149799); IX.1990, Setz et al. sn (INPA 164991); Tefé, VI.1982, Ribeiro 15 (INPA 141118); Reserva Ducke, VII.1994, Assunção 42 (INPA 183496); IX.1994, Assunção 93 (INPA 183500); VII.1997, Assunção 561 (INPA 191453) (**ANA**); X.1996, Sothers 909 (INPA 190067); X.1994, Costa 792 (INPA 191467); IX.1994, Ribeiro 1417 (INPA 183545) (**MOL**); VII.1997, Assunção 561 (INPA 191453) (**ANA**)

Brosimum rubescens

Pará, Tucuruí, IX.1983, Ramos 912 (INPA 115045); XI.1983, Ramos 1042 (INPA 115614); **Rondônia**, Porto Velho, VI. 1986, Lima s.n (INPA 151490); Itapuã do Oeste, IX. 1987, Nepomuceno 329 (INPA 146529); **Amazonas**, Manaus, X.1961, Lima 2697 (INPA 10047); XII.1990, Setz 1137 (INPA 190695); Reserva Ducke, I.1970, Rodrigues 5472 (INPA 14144); I.1966, Rodrigues 7388 (INPA 16786) (**ANA**); XII.1994, Ribeiro 1542 (INPA 183556) (**MEV**); X.1995, Vicentini 1068 (INPA 183624) (**ANA MOL**); X.1995, Ribeiro 1744 (INPA 183569); XI.1996, Souza 164 (INPA 183605); IX.1995, Ribeiro 1715 (INPA 183567); IX.1995, Ribeiro 1702 (INPA 183565); III.1994, Ribeiro 1215 (INPA 183537); IX.1994, Vicentini 714 (INPA 183616) (**ANA**) PDBFF, X.1989, Cardoso s.n (INPA 184146);

Brosimum utile subesp. ovatifolium

Colômbia, Araracuara, III.1977, Roa 583 (INPA 85920); III.1994 Manaidego 4462 (INPA 186974); **Guiana Francesa**, Saül, V.1986, Sabatier 1245 (INPA 199162); **Mato Grosso**, Aripuanã, VI.1974, Rodrigues 9387 (INPA 43581) (**ANA**); II.1988, Rolh 20 (INPA 76345); **Amazonas**, Manaus, VI.1970, Coêlho 20 (INPA 28254); VIII.1977, Ramos 95 (INPA 73133); IX.1979, Silva 1363 (INPA 92344); IX. 1977, Mota 664 (INPA 66861); Tefé, VI.1982, Barbosa 1685 (INPA 141242); VII.1981, Teixeira 53 (INPA 99849); Coari, I.1989, Mota 110 (INPA 160388); Reserva Ducke, XI.1994, Ribeiro 1492 (**ANA MOL**); XII.1994 Ribeiro 1522 (**ANA**); XII.1997, Assunção 731 (INPA 191464); VI.1994, Vicentini 588; VII. 1997, Assunção 551 (INPA 191147) (**MEV**); XI.1986, Daly 4444 (INPA 217092); Pq. Nac. do Jaú, VIII.1998, Vicentini 1313 (INPA 197330); Est. Exp. de Silvicultura Tropical- ZF2, X.2000, Lemos 192 (INPA 202381); IX.1988, Aluisio s.n. (INPA 150957); IX. 1977, Ramos 346 (INPA 73392)

Helianthostylis sprucei

Rondônia, Ji-Paraná, III.1983; Leitão Filho sn (INPA 16243); Porto Velho, VIII.1987, Matos 141 (INPA 148117); **Amazonas**, Manaus, X.1990, Setz s.n (INPA 165040); XII.1991, Oliveira 252 (INPA 171436); Presidente Figueiredo, III.1986, Ferreira 6629 (INPA 138263); XII.1986, Pereira 1301 (INPA 174098); Reserva Ducke, XII.1994, Ribeiro 1531 (INPA 183552) (**MEV ANA**); III.1994, Vicentini 452 (INPA 183606); XII.1994, Nascimento 698 (INPA 183528); X.1995, Lemes 83 (INPA 181021); XII.1994, Ribeiro 1545 (INPA 183559) (**ANA MOL**); IX.1997, Souza 422 (INPA 191479).

Helianthostylis. steyermarkii

Amazonas, Pico da Neblina, Weitzman & Boom s.n (VEN 5679); São Paulo de Olivença, XI.1986. Ferreira 8506 (INPA 153103); Rio Tea, VI.1976, Côelho 455 (INPA 60221) (**MEV**) (**ANA**); Rio Guainía, XI.1953, Maguire s.n (MG 58487).

Trymatococcus amazonicus

Amazonas, Rio Javari, X.1976, Prance et al. sn.(INPA 24173); Lábrea, VI.1971, Prance et al. sn. (INPA 31941); Tefé, X.1982, Ferreira 3236 (INPA107250); Reserva Ducke, III.1995. Sothers 384 (INPA 183590) (**MEV**); X.1997, Ribeiro 1931 (INPA 191474) (**MOL**); IX.1994, Vicentini 708 (INPA 183615); XII.1994, Assunção 99 (INPA 183589) (**ANA**); II.1995, Sothers 306 (INPA 183615) (**ANA**)

Trymatococcus oligandrus

Amapá, X.1979, *Santos et al.* 7205 (MG 69485) (**ANA**); Oiapoque, IX.1960, *Irwin et al.* sn (MG 26290) (**MEV**); **Guiana Francesa**, Saül, X.1985, *Mori et al.* sn (MG 134737). **Suriname**, III.1956, *Miranda Bastos* 2166 (RB 96355); III.1923, *B.W.6098* (RB 176755); X.1934, s.c. (RB 173392).

Dorstenia brasiliensis

Amazonas, Presidente Figueiredo, VII.2000, *Kinupp 2084* (INPA 209645); Manaus, X.2005, *Silva, 10* (INPA 216541); X.2005. *Silva 11* (INPA 216542) (**ANA MEV MOL**).

Sorocea muriculata subesp. *muriculata*

Peru, Pucallpa, IX.1980, *Oliveira 31*; **Acre**, Rio Branco, X.1980, *Lowrie et al.* 467 (INPA 109607); X.1980, *Nelson 799* (INPA 110215); **Amazonas**, Manaus, XI. 1956, *Rodrigues 225* (INPA 4335); I.1962, *Lima 2672* (INPA 10022); Reserva Ducke, XI. 1995, *Costa 421* (INPA 183517) (**ANA MOL**); X.1995, *Sothers 600* (INPA 183598) (**ANA MEV**)

APÊNDICE 2. Caracteres e seus estados dos espécimes de *Brosimum*, *Helianthostylis* e *Trymatococcus* utilizados para as análises filogenéticas com dados não moleculares e com dados combinados.

Caracteres morfológicos vegetativos

1. Estípula: **0.**Unida; **1.**Livre
2. Tipo de estípula: **0.**Amplexicaule; **1.**Não amplexicaule
3. Escamas no pecíolo: **0.**Ausente; **1.**Presente
4. Lenticelas no pecíolo: **0.**Ausente; **1.**Presente
5. Pecíolo levemente canaliculado: **0.**Ausente; **1.**Presente
6. Cor do látex: **0.**Branco; **1.**Castanho-claro; **2.**Amarelo
7. Indumento na face adaxial da lâmina foliar : **0.**Presente; **1.**Ausente
8. Indumento na face abaxial da lâmina foliar: **0.**Presente; **1.**Ausente
9. Tipo de indumento na face abaxial da lâmina foliar: **0.**Piloso **1.**Puberulento; **2.**Pubescente
10. Tipo de indumento na Estípula: **0.**Piloso; **1.**Pubescente; **2.**Puberulento
11. Tipo de Indumento no Pecíolo: **0.**Piloso; **1.**Pubescente; **2.**Puberulento
12. Formação de aréolas na face adaxial da lâmina foliar: **0.**Ausente; **1.**Presente
13. Tipo de nervuras terciárias: **0.**Escalariforme; **1.**Reticulada
14. Nervuras 2^{as} e 3^{as} na face abaxial: **0.**Proeminentes; **1.**Impressas

Caracteres anatômicos

15. Formato das células epidérmicas da face adaxial da lâmina foliar: **0.**Polygonal; **1.**Isodiamétrica
16. Forma da parede das células anticlinais da epiderme da face abaxial da lâmina foliar: **0.**Reta; **1.**Sinuosa
17. Comprimento dos tricomas simples: **0.**Tector-longo (maior que 20 mm); **1.**Tector-curto (menor que 20mm);
18. Tipo de tricomas glandulares: **0.**Oblongo-capitados; **1.**Ovoíde-capitados
19. Número de células do tricoma glandular: **0.**2; **1.**4;
20. Distribuição de tricomas glandulares: **0.**Ao longo da lâmina; **1.**Próximo/Sobre a nervura
21. Epiderme pilosa na face abaxial da epiderme foliar: **0.**Ausente; **1.**Presente

Caracteres reprodutivos

22. Sistema Reprodutivo: **0.**Monóico; **1.**Dióico; **2.**Androdióico
23. Sexualidade da inflorescência: **0.**bissexuada; **1.**unissexuada; **2.**uni/bissexuada
24. Pedúnculo da inflorescência: **0.**Maior que 25mm; **1.**Menor que 15mm
25. Brácteas como perianto: **0.**Ausentes; **1.**Presentes
26. Diâmetro da bráctea interfloral na inflorescência bi e unissexuada maior ou igual a 2 mm: **0.**Presente; **1.**Ausente
27. Receptáculo foveado/lobado: **0.**Ausente; **1.**Presente
28. Perianto Flor Estaminada: **0.**Presente; **1.**Ausente
29. Comprimento do perianto: **0.**1,5-3,0mm; **1.**menor que 1mm
30. Inserção das tépalas no receptáculo: **0.**Livres; **1.**Unidas na base
31. N° de estames em relação ao número de tépalas: **0.**Isostêmone; **1.**Anisostêmone
32. Abertura da antera: **0.**Extrorsa; **1.**Latrorsa; **2.**Introrsa
33. Conectivo: **0.**Abaulado ; **1.**Plano
34. Largura do filete em relação a largura do conectivo: **0.**Menor; **1.**Igual; **2.**Maior
35. Perianto flor pistilada: **0.**Presente; **1.**Ausente
36. Pistilo conspícuo na inflorescência (maior que 5mm): **0.**Ausente; **1.**Presente
37. Forma do estigma: **0.**filiforme; **1.**vitiforme;
38. Indumento no estigma: **0.**Glabro; **1.**Puberulento;
39. Pistilódio: **0.**Ausente, **1.**Presente;

Apêndice 3. Matriz de dados morfológicos, polarizados, utilizados na análise cladística. Os estados de caráter desconhecido ou inaplicável é indicado pela (?), estados de caracteres polimórficos (01)

| | 01 | 02 | 03 | 04 | 05 | 06 | 07 | 08 | 09 | 10 | 11 | 12 | 13 | 14 | 15 | 16 | 17 | 18 | 19 | 20 | 21 | 22 | 23 | 24 | 25 | 26 | 27 | 28 | 29 | 30 | 31 | 32 | 33 | 34 | 35 | 36 | 37 | 38 | 39 | | | |
|---------------------------|----|----|----|----|----|----|----|----|----|----|----|----|----|----|----|-------|----|----|----|-------|----|----|-------|----|----|----|----|----|----|----|----|----|----|----|----|----|----|----|----|---|---|---|
| <i>D.brasiiliensis</i> | 0 | 0 | 0 | 0 | 0 | 0 | 0 | 0 | 0 | 0 | 0 | 0 | 0 | 0 | 0 | 0 | 0 | 0 | 0 | 0 | 0 | 0 | ? | 0 | 0 | 0 | 0 | 0 | 0 | 0 | 0 | 0 | 0 | 0 | 0 | 0 | 0 | 0 | 0 | 0 | 0 | 0 |
| <i>S. muriculata</i> | 1 | 1 | 0 | 0 | 1 | 1 | 1 | 1 | ? | 1 | 2 | 0 | 1 | 0 | 0 | 0 | 0 | 1 | 1 | 0 | 1 | 1 | 0 | 0 | 0 | 0 | 0 | 0 | 0 | 0 | 0 | 0 | 1 | 0 | 0 | 0 | 1 | 1 | 0 | 0 | | |
| <i>B. acutifolium</i> | 1 | 1 | 0 | 0 | 1 | 2 | 0 | 0 | 1 | 2 | 2 | 0 | 1 | 0 | 1 | 0 | 0 | 0 | 1 | 1 | 0 | 1 | 1 | 1 | 1 | 0 | 0 | ? | ? | ? | 0 | 1 | 1 | 1 | 0 | 1 | 1 | 0 | | | | |
| <i>B. alicastrum</i> | 1 | 1 | 0 | 1 | 1 | 0 | 1 | 0 | 2 | 2 | 2 | 0 | 0 | 0 | 0 | 1 | 1 | 0 | 0 | 1 | 1 | 1 | 1 | 0 | 0 | 0 | 1 | ? | ? | ? | 0 | 1 | 0 | 1 | 1 | 0 | 0 | 0 | | | | |
| <i>B. costaricanum</i> | 1 | 1 | 0 | 0 | 0 | 0 | 0 | 0 | 0 | 1 | 1 | 0 | 1 | 0 | 1 | 0 | 0 | 0 | 1 | 1 | 0 | 1 | 1 | 1 | 0 | 0 | 0 | 1 | 1 | 0 | 0 | 0 | 1 | 1 | 0 | 0 | 0 | 0 | | | | |
| <i>B. gaudichaudii</i> | 1 | 1 | 0 | 0 | 0 | 0 | 0 | 0 | 0 | 1 | 1 | 1 | 1 | 0 | 1 | 0 | 0 | 1 | 0 | 0 | 0 | 1 | 0 | 0 | 1 | ? | ? | ? | 2 | 1 | 2 | 1 | 0 | 1 | 1 | 0 | | | | | | |
| <i>B. guianense</i> | 1 | 1 | 0 | 1 | 1 | 2 | 1 | 0 | 2 | 2 | 2 | 0 | 1 | 1 | 0 | 0 | 1 | 1 | 0 | 0 | 1 | 0 | 0 | 1 | 0 | 1 | 0 | 0 | 1 | 1 | 1 | 1 | 0 | 1 | 1 | 0 | 1 | 1 | 0 | | | |
| <i>B. lactescens</i> | 1 | 1 | 1 | 0 | 1 | 2 | 1 | 0 | 2 | 2 | 1 | 1 | 1 | 0 | 0 | 0,1 | 1 | 0 | 1 | 1 | 0 | 1 | 1 | 1 | 0 | 1 | 0 | 0 | 0 | 1 | 0 | 0 | 1 | 1 | 1 | 0 | 0 | 0 | 0 | | | |
| <i>B. longifolium</i> | 0 | 0 | 0 | 1 | 0 | 0 | 1 | 1 | ? | 2 | 2 | 0 | 0 | 0 | 0 | 0 | 0 | ? | ? | ? | 1 | 0 | 0 | 1 | 0 | 0 | 1 | 1 | ? | ? | ? | 1 | 1 | 0 | 1 | 0 | 1 | 1 | 0 | | | |
| <i>B. melanopotamicum</i> | 0 | 0 | 1 | 0 | 0 | 0 | 1 | 0 | 0 | 0 | 0 | 0 | 0 | 0 | 0 | {0,1} | 0 | 0 | 1 | 1 | 0 | 1 | 1 | 1 | 0 | 1 | 0 | 0 | 1 | 1 | 1 | 1 | 0 | 0 | 1 | ? | 0 | ? | 0 | | | |
| <i>B. parinarioides</i> | 0 | 0 | 1 | 1 | 1 | 0 | 1 | 0 | 1 | 2 | 2 | 1 | 1 | 0 | 0 | 0 | 1 | 0 | 1 | 1 | 0 | 0 | {0,1} | 0 | 0 | 1 | 1 | 1 | ? | ? | ? | ? | 1 | 0 | 0 | 1 | 0 | 1 | 1 | 0 | | |
| <i>B. potabile</i> | 0 | 0 | 1 | 1 | 1 | 0 | 1 | 0 | 1 | 2 | 2 | 1 | 1 | 1 | 0 | 1 | ? | 1 | 1 | {0,1} | 0 | 0 | 1 | 0 | 1 | 1 | 1 | ? | ? | ? | 1 | 0 | 0 | 1 | 0 | 1 | 1 | 0 | | | | |
| <i>B. rubescens</i> | 0 | 0 | 1 | 0 | 0 | 0 | 1 | 1 | ? | 0 | 0 | 0 | 1 | 1 | 0 | 0 | 1 | ? | ? | 1 | 0 | 0 | {0,1} | 1 | 0 | 1 | 0 | 0 | 1 | 1 | 1 | 0 | 0 | 0 | 1 | 0 | 1 | 1 | 0 | | | |
| <i>B. utile</i> | 0 | 0 | 1 | 1 | 1 | 0 | 1 | 1 | ? | 2 | 2 | 0 | 0 | 1 | 0 | 0 | 0 | ? | ? | 1 | 0 | 0 | 0 | 1 | 0 | 0 | 1 | 1 | ? | ? | ? | ? | 1 | 0 | 1 | 1 | 0 | 1 | 1 | 0 | | |
| <i>T.amazonicus</i> | 1 | 1 | 0 | 0 | 0 | 1 | 0 | 0 | 0 | 0 | 0 | 0 | 1 | 0 | 1 | 1 | 0 | 0 | 1 | 1 | 0 | 0 | 0 | 1 | 0 | 1 | 0 | 0 | 0 | 0 | 0 | 2 | 1 | 1 | 1 | 1 | 0 | 0 | 1 | | | |
| <i>H. sprucei</i> | 1 | 1 | 1 | 0 | 1 | 1 | 1 | 0 | 2 | 0 | 0 | 0 | 1 | 0 | 1 | 1 | 0 | 0 | 1 | 1 | 0 | 2 | 2 | 1 | 0 | 1 | 0 | 0 | 0 | 1 | 0 | 0 | 1 | 1 | 1 | 1 | 0 | 1 | 1 | 1 | | |